



# Realtà Virtuale From 3D to 2D

Prof. Alberto Borghese  
Dipartimento di Informatica  
[alberto.borghese@unimi.it](mailto:alberto.borghese@unimi.it)

Università degli Studi di Milano



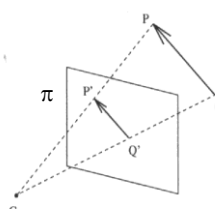
## Sommario

- La trasformazione proiettiva
- Calibrazione

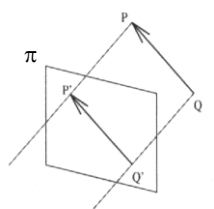


## Proiezione centrale e proiezione ortogonale





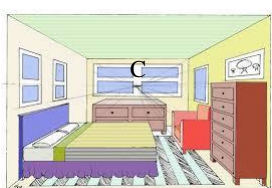
**1)**



**2)**

$P(X,Y,Z)$  viene proiettato su un piano (piano immagine) nel punto  $P'(X',Y')$ .  $Z$  è la distanza dal piano immagine.

1)  $X'$  dipende da  $X$  e  $Z$ .  
 2)  $X'$  non dipende da  $Z$ , ma solo da  $X$ .



Proiezione centrale: centro di proiezione al finito - C.



Proiezione ortogonale: centro di proiezione all'infinito.

A.A. 2021-2022

3/46



## Dal 3D al 2D



Come si forma un'immagine?

- Scena con oggetti riflettenti.
- Sorgente di illuminazione
- Piano di rilevazione della luce riflessa.

Il motore di questa trasformazione è la **proiezione prospettica**.

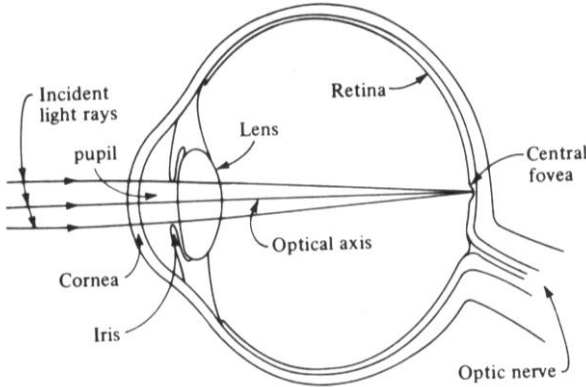
A.A. 2021-2022

4/46



## L'occhio umano





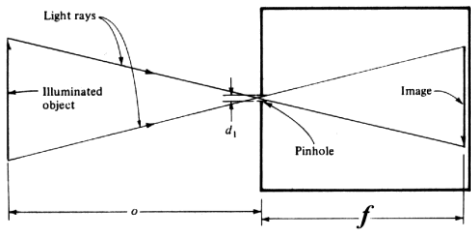
Its behavior is very similar to that of a camera

A.A. 2021-2022
5/46

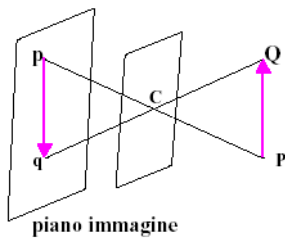


## La pin-hole camera





**Proiezione prospettica:**  
tutti i raggi di proiezione passano per un unico punto, detto **centro di proiezione**.



piano immagine

Pinhole camera

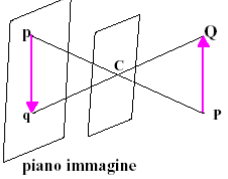
Perchè non funziona in pratica?

A.A. 2021-2022
6/46

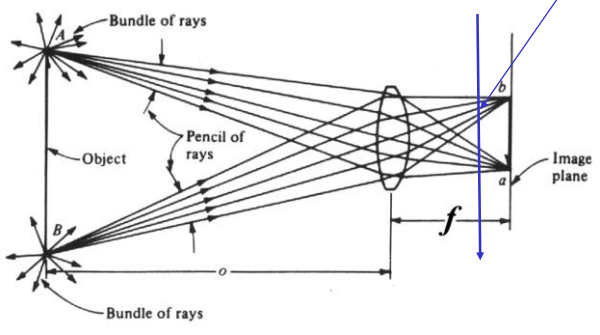


## La lente





Pinhole camera



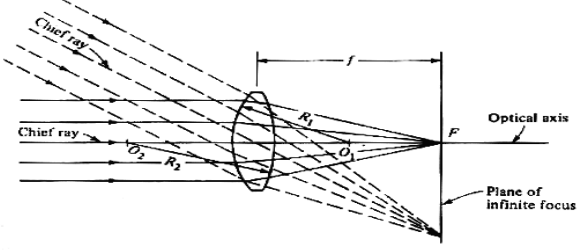
Lente convergente

A.A. 2021-2022
7/46



## Geometria dell'ottica





Oggetti all'infinito

- **Distanza focale:** distanza del piano immagine quando un oggetto si trova all'infinito e dà un'immagine nitida sul piano immagine.
- **Asse ottico:** raggio che non viene deviato dalla lente.
- **Intersezione dell'asse ottico con il piano immagine dà il punto principale (F).**

A.A. 2021-2022
8/46

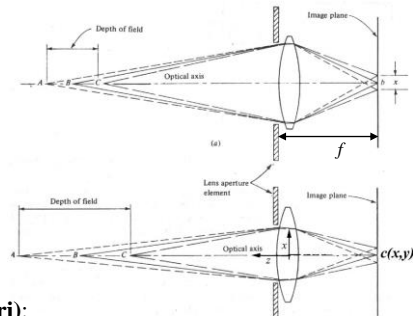


## Messa a fuoco



Problema della messa a fuoco

La profondità di campo dipende dall'apertura dell'obiettivo.



**Parametri di camera (o intrinseci – 3 parametri):**

- Punto principale  $c(x,y)$
- distanza focale (piano messa a fuoco),  $f$

Occorre conoscere anche il fattore di forma dei pixel nel caso di immagini digitali (è una costante, non un parametro).

Distorsioni.

A.A. 2021-2022

9/46



## Distorsioni



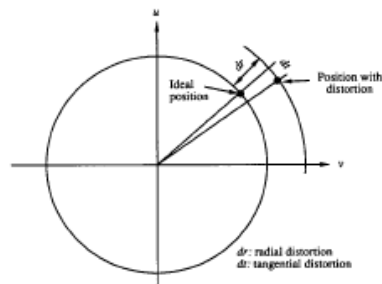
Distorsioni radiali.

Distorsioni tangenziali.

Shrinkage ( $x' = \lambda x, y' = y$ ).

$$x_m = x + f(x,y)$$

$$y_m = y + g(x,y)$$



A.A. 2021-2022

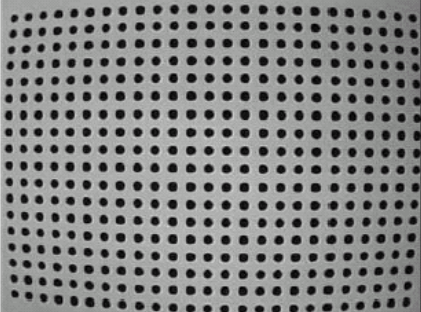
10/46

<http://homes.dsi.unimi.it/~borgnese>

## Esempi di Distorsioni









Ottime per effetti speciali, un po' meno per delle misure.....

*Le camere non sono metriche.*

A.A. 2021-2022 11/46

## Distorsioni radiali




A cuscinetto

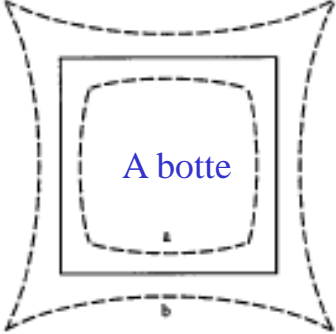
$$dr(p) = k_0 r + k_1 r^3 + k_2 r^5 + \dots$$

$$r = |p - p_0|$$

Rappresentazione polare ( $\rho, \phi$ ):

$$x = \rho \cos\phi$$

$$y = \rho \sin\phi$$



$$dx(p) = k_0 x + k_1 x(x^2 + y^2) + O[(x,y)^4]$$

$$dy(p) = k_0 y + k_1 y(x^2 + y^2) + O[(x,y)^4]$$

Il parametro  $k_0$  non si considera perchè corrisponde ad una variazione di scala.

A.A. 2021-2022 12/46



## I modelli di distorsioni



**Modelli parametrici**

1	Radial Polynomial 3rd Degree	$\Delta x = k_1 r^2 x$ $\Delta y = k_1 r^2 y$ <span style="float: right;">(1)</span>
2	Radial Polynomial 5th Degree	$\Delta x = k_1 r^2 x + k_2 r^4 x$ $\Delta y = k_1 r^2 y + k_2 r^4 y$ <span style="float: right;">(2)</span>
3	Radial and Tangential	$\Delta x = k_1 r^2 x + k_2 (r^2 + 2x^2) + k_3 2xy$ $\Delta y = k_1 r^2 y + k_3 (r^2 + 2y^2) + k_2 2xy$ <span style="float: right;">(3)</span>

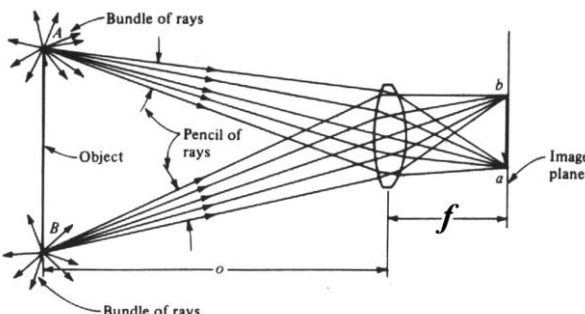
In alternativa: modelli **semi-parametrici** che fittano il campo di distorsione a partire da misure prese sul campo.

A.A. 2021-2022
13/46



## Le distorsioni





$$dr(p) = k_0 r + k_1 r^3 + k_2 r^5 + \dots$$

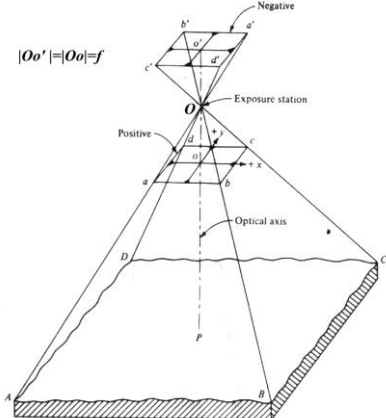
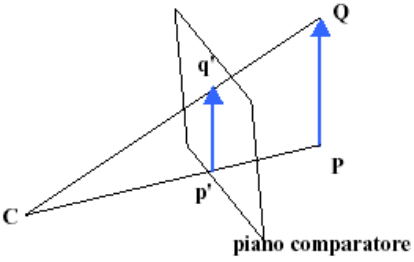
Il punto a per effetto delle distorsioni viene misurato in una posizione  $p_a + dr(p_a)$

A.A. 2021-2022
14/46



## Raddrizzamento dell'immagine



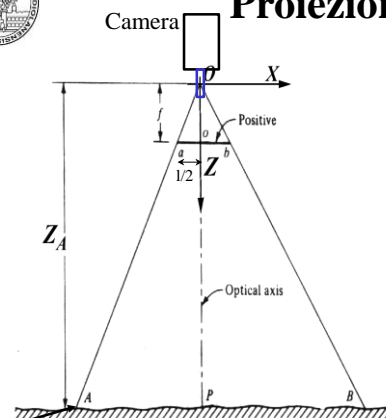
Si considera un piano posto davanti al centro di proiezione (si ottiene scendendo l'immagine dall'angolo a dx in basso). In digitale si ottiene iniziando a «contare» i pixel dal punto in alto a dx invece che in basso a sx.

A.A. 2021-2022
15/46

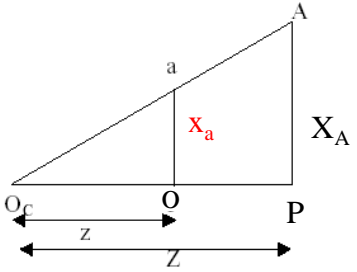


## Proiezione semplice





Tutte le coordinate misurate rispetto a un centro comune



$P_A(X_A, Y_A, Z_A)^{L/2}$

Per similitudine fra i triangoli aOo e AOP:

Oo : OP = ao : AP  
 $f : Z_A = x_a : X_A \Rightarrow x_a = f X_A / Z_A$

$$a(x_a; y_a) \begin{cases} x_a = f X_A / Z_A \\ y_a = f Y_A / Z_A \end{cases}$$

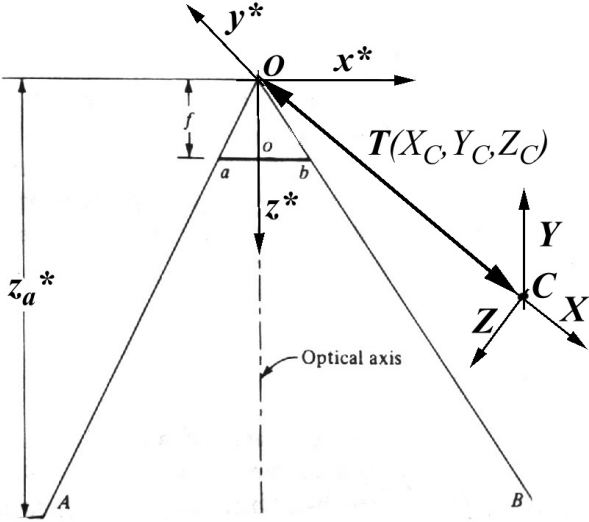
A.A. 2021-2022
16/46



## I parametri esterni



- **Traslazione:**  
3 componenti:  
 $T(X_C, Y_C, Z_C)$ .
- **Rotazione**  
 $R_{3 \times 3}(\omega, \phi, k)$



A.A. 2021-2022

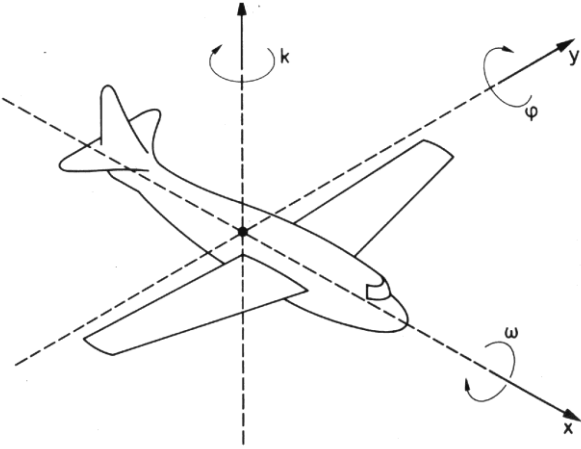
17/46



## Angoli di orientamento nello spazio 3D



Modo generale: roll, pitch, e yaw.      Sono 3 rotazioni sequenziali,  
 $(\omega, \phi, k)$ : rollio, beccheggio e deriva.      non commutative.



A.A. 2021-2022

18/46



## Rototraslazione



$$\mathbf{P}^* = \mathbf{R} (\mathbf{P} - \mathbf{T})$$

$$X^* = r_{11}(X - X_C) + r_{12}(Y - Y_C) + r_{13}(Z - Z_C)$$

$$Y^* = r_{21}(X - X_C) + r_{22}(Y - Y_C) + r_{23}(Z - Z_C)$$

$$Z^* = r_{31}(X - X_C) + r_{32}(Y - Y_C) + r_{33}(Z - Z_C)$$

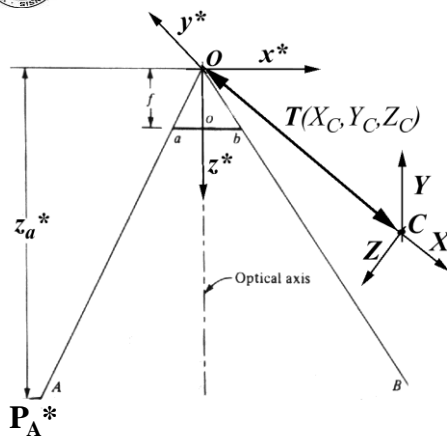
$$\begin{bmatrix} X^* \\ Y^* \\ Z^* \\ 1 \end{bmatrix} = \begin{bmatrix} r_{11} & r_{12} & r_{13} & -(r_{11}T_x + r_{12}T_y + r_{13}T_z) \\ r_{21} & r_{22} & r_{23} & -(r_{21}T_x + r_{22}T_y + r_{23}T_z) \\ r_{31} & r_{32} & r_{33} & -(r_{31}T_x + r_{32}T_y + r_{33}T_z) \\ 0 & 0 & 0 & 1 \end{bmatrix} \begin{bmatrix} X \\ Y \\ Z \\ 1 \end{bmatrix}$$

A.A. 2021-2022

19/46

<http://homes.dsi.unimi.it/~borgnese>

## Dal 3D al 2D



1) Mi riconduco alla proiezione semplice

$$\mathbf{P}_A^* = \mathbf{R} (\mathbf{P}_A - \mathbf{T})$$

$$P(X_A, Y_A, Z_A) \Rightarrow P_A^*(X_A^*, Y_A^*, Z_A^*)$$

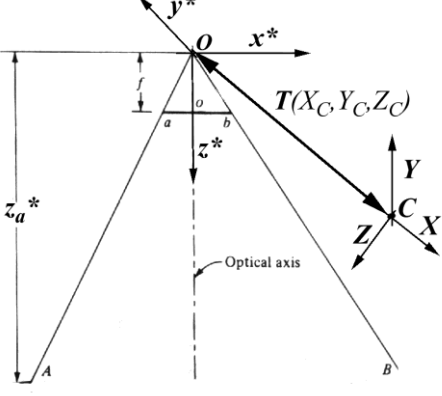
A.A. 2021-2022

20/46



## Dal 3D al 2D





2) Implemento la proiezione semplice

$$a(x_a; y_a) \begin{cases} x_a = f X_A^* / Z_A^* \\ y_a = f Y_A^* / Z_A^* \end{cases}$$

$P(X_A, Y_A, Z_A) \Rightarrow P_A^*(X_A^*, Y_A^*, Z_A^*) \Rightarrow a(x_a, y_a)$

La terza coordinata sul piano immagine,  $z_a = f = \overline{oO}$

A.A. 2021-2022
21/46



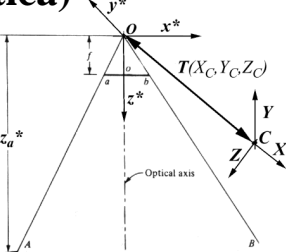
## Equazioni di collinearità (rappresentazione prospettica)



$$X_A^* = r_{11}(X_A - X_C) + r_{12}(Y_A - Y_C) + r_{13}(Z_A - Z_C)$$

$$Y_A^* = r_{21}(X_A - X_C) + r_{22}(Y_A - Y_C) + r_{23}(Z_A - Z_C)$$

$$Z_A^* = r_{31}(X_A - X_C) + r_{32}(Y_A - Y_C) + r_{33}(Z_A - Z_C)$$



$$(x_a - x_o) / f = X_A^* / Z_A^* = \frac{r_{11}(X_A - X_C) + r_{12}(Y_A - Y_C) + r_{13}(Z_A - Z_C)}{r_{31}(X_A - X_C) + r_{32}(Y_A - Y_C) + r_{33}(Z_A - Z_C)}$$

$$y_a - y_o = f Y_A^* / Z_A^* = \frac{r_{21}(X_A - X_C) + r_{22}(Y_A - Y_C) + r_{23}(Z_A - Z_C)}{r_{31}(X_A - X_C) + r_{32}(Y_A - Y_C) + r_{33}(Z_A - Z_C)}$$

**Complessivamente 9 parametri. Equazioni non-lineari.**

A.A. 2021-2022
22/46

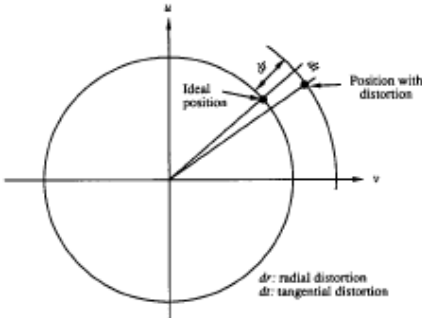
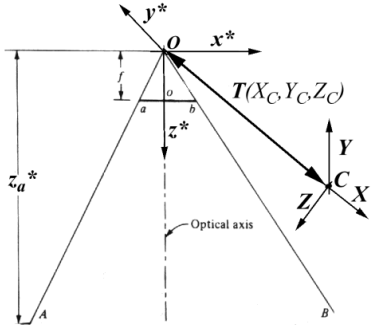


## Modello reale della ripresa fotografica



$$x - x_o + f(x, y, x_o, y_o) = -f \frac{m_{11}(X - X_o) + m_{12}(Y - Y_o) + m_{13}(Z - Z_o)}{m_{31}(X - X_o) + m_{32}(Y - Y_o) + m_{33}(Z - Z_o)}$$

$$y - y_o + g(x, y, x_o, y_o) = -f \frac{m_{21}(X - X_o) + m_{22}(Y - Y_o) + m_{23}(Z - Z_o)}{m_{31}(X - X_o) + m_{32}(Y - Y_o) + m_{33}(Z - Z_o)}$$



## Tassonomia dei parametri



$P^3 \rightarrow P^2$  Interior parameters

- Focal length, f
- Principal point  $(x_o, y_o)$

$P^3 \rightarrow P^3$  Exterior parameters

- Orientation  $(\omega, \phi, \kappa)$
- Position  $(X_o, Y_o, Z_o)$

$P^2 \rightarrow P^2_m$  Distortion parameters:  $g_1, g_2, g_3, g_4, k_1, \dots$   
 $(f(x, y, x_o, y_o); g(x, y, x_o, y_o))$

$$x - x_o + f(x, y, x_o, y_o) = -f \cdot \frac{m_{11}(X - X_o) + m_{21}(Y - Y_o) + m_{31}(Z - Z_o)}{m_{13}(X - X_o) + m_{23}(Y - Y_o) + m_{33}(Z - Z_o)}$$

$$y - y_o + g(x, y, x_o, y_o) = -f \cdot \frac{m_{12}(X - X_o) + m_{22}(Y - Y_o) + m_{32}(Z - Z_o)}{m_{13}(X - X_o) + m_{23}(Y - Y_o) + m_{33}(Z - Z_o)}$$

A.A. 2021-2022

24/46



## Notazione matriciale



$$\mathbf{K} = \begin{bmatrix} f & 0 & x_0 \\ 0 & f & y_0 \\ 0 & 0 & 1 \end{bmatrix}$$

Trasformazione  
mediante scala ( $f$ ) e  
traslazione ( $x_0, y_0$ )

$$\mathbf{A} = \begin{bmatrix} \mathbf{R} & -\mathbf{RT} \\ \mathbf{0} & 1 \end{bmatrix}$$

Roto-traslazione

$$\mathbf{p} = \mathbf{KMA} \quad \mathbf{P} = \mathbf{HP}$$

$$\mathbf{M} = \begin{bmatrix} 1 & 0 & 0 & 0 \\ 0 & 1 & 0 & 0 \\ 0 & 0 & 1 & 0 \end{bmatrix}$$

Che forma ha H?  
Che dimensioni?

A.A. 2021-2022
25/46



## Proiezione in coordinate omogenee



$$\mathbf{P}^* = \mathbf{MA} \mathbf{P} = \begin{cases} m_{11}(X - X_0) + m_{12}(Y - Y_0) + m_{13}(Z - Z_0) \\ m_{21}(X - X_0) + m_{22}(Y - Y_0) + m_{23}(Z - Z_0) \\ m_{31}(X - X_0) + m_{32}(Y - Y_0) + m_{33}(Z - Z_0) \end{cases}$$

$$\mathbf{A} = \begin{bmatrix} \mathbf{R} & -\mathbf{RT} \\ \mathbf{0} & 1 \end{bmatrix}$$

$$\begin{bmatrix} x_{omogene} \\ y_{omogene} \\ w_{omogene} \end{bmatrix} = \begin{bmatrix} f & 0 & x_0 \\ 0 & f & y_0 \\ 0 & 0 & 1 \end{bmatrix} \mathbf{P} = \begin{bmatrix} fX^* + x_0Z^* \\ fY^* + y_0Z^* \\ Z^* \end{bmatrix}$$

Dividendo per la terza coordianata,  $w_{omogenee}$ .

$$\begin{bmatrix} x_{cartesiana} \\ y_{cartesiana} \\ w = 1 \end{bmatrix} = \begin{bmatrix} fX^*/Z^* + x_0 \\ fY^*/Z^* + y_0 \\ 1 \end{bmatrix}$$

A.A. 2021-2022
26/46



## Sommaro



- La trasformazione proiettiva
- **Calibrazione**

A.A. 2021-2022

27/46



## Calibrazione, Proiezione e Ricostruzione



$$x - x_0 + f(x, y, x_0, y_0) = -f \cdot \frac{m_{11}(X - X_0) + m_{21}(Y - Y_0) + m_{31}(Z - Z_0)}{m_{13}(X - X_0) + m_{23}(Y - Y_0) + m_{33}(Z - Z_0)}$$

$$y - y_0 + g(x, y, x_0, y_0) = -f \cdot \frac{m_{12}(X - X_0) + m_{22}(Y - Y_0) + m_{32}(Z - Z_0)}{m_{13}(X - X_0) + m_{23}(Y - Y_0) + m_{33}(Z - Z_0)}$$

**3 attori:**

A) I punti nello spazio 3D:  $\{\mathbf{P}(X, Y, Z)\}$

B) I punti misurati sul piano immagine  $\{\mathbf{p}(x, y, f)\}$

C) I parametri  $\{X_C, Y_C, Z_C, m_{ij}(\omega, \phi, k), f, x_0, y_0, \{ap_x\}, \{ap_y\}\}$

**3 problemi:**

A) + B)  $\rightarrow$  C) Determinazione dei parametri del modello proiettivo (calibrazione).

B) + C)  $\rightarrow$  A) Ricostruzione (ray intersection, VR).

A) + C)  $\rightarrow$  B) Proiezione (augmented reality).

A.A. 2021-2022

28/46



## Augmented reality at work (proiezione)





A.A. 2021-2022

29/46



## Le operazioni richieste



- Posiziono l'oggetto virtuale nella scena reale manualmente
  - Definisco la sua posizione e orientamento
  - Definisco la sua grandezza (proiezione)ù
  
- Applico all'oggetto virtuale la stessa rototraslazione della camera
  - Calcolo la rototraslazione della camera a ogni frame (dallo spostamento di un insieme di punti identificati nella scena attraverso marker virtuali o reali)
  - Applico la stessa rototraslazione all'oggetto virtuale

A.A. 2021-2022

30/46

<http://homes.dsi.unimi.it/~borgnese>



## Calibrazione, Proiezione e Ricostruzione



$$x - x_0 + f(x, y, x_0, y_0) = -f \cdot \frac{m_{11}(X - X_0) + m_{21}(Y - Y_0) + m_{31}(Z - Z_0)}{m_{13}(X - X_0) + m_{23}(Y - Y_0) + m_{33}(Z - Z_0)}$$

$$y - y_0 + g(x, y, x_0, y_0) = -f \cdot \frac{m_{12}(X - X_0) + m_{22}(Y - Y_0) + m_{32}(Z - Z_0)}{m_{13}(X - X_0) + m_{23}(Y - Y_0) + m_{33}(Z - Z_0)}$$

### 3 attori:

- A) I punti nello spazio 3D:  $\{\mathbf{P}(X, Y, Z)\}$
- B) I punti misurati sul piano immagine  $\{\mathbf{p}(x, y, f)\}$
- C) I parametri  $\{X_C, Y_C, Z_C, m_{ij}(\omega, \phi, k), f, x_0, y_0, \{ap_x\}, \{ap_y\}\}$

### 3 problemi:

- A) + B)  $\rightarrow$  C) Determinazione dei parametri del modello proiettivo (calibrazione).
- B) + C)  $\rightarrow$  A) Ricostruzione (ray intersection, VR).
- A) + C)  $\rightarrow$  B) Proiezione (augmented reality).

A.A. 2021-2022

31/46



## Set-up



Passive vision systems do not constraint cameras position.

Cameras have to be positioned to get the best volume coverage (every feature should be surveyed by at least two cameras) and to **view the volume of interest!**

### *Set-up requires:*

- Cameras position
- Focusing (and possibly choice of a proper lens)
- Lens opening

Not all the cameras should view the same volume region.

**Optimal set-up may require some time  
and/or  
Multiple cameras are used.**

A.A. 2021-2022

32/46



## In che cosa consiste la calibrazione



Determinazione dei parametri o di un loro sottoinsieme.

Determinazione dei parametri della trasformazione prospettica:

- **Parametri esterni:**  $X_C, Y_C, Z_C, m_{ij}(\omega, \phi, k)$ .
- Parametri interni:  $x_0, y_0, f$ .
- Parametri di distorsione (o parametri aggiuntivi):  $g_1, g_2, g_3, g_4, k_1,$   
.....

Calibrazione dei parametri esterni può essere fatta separatamente dai parametri interni e/o di distorsione.



## Perchè calibrare?



- Per ottenere misure e ricostruzione **precise** degli oggetti.
- Per ricavare i parametri corretti della camera (focale, punto principale).
- Per rimuovere gli effetti della **distorsione** delle lenti (errori sistematici).
- Molto praticata in fotogrammetria / ridotta al minimo in computer vision.
- Per proiettare oggetti virtuali su camere.



## Calibrations



2D calibration (camera calibration, estimate of interior parameters).

3D calibration (estimate of the exterior parameters).

**Metodi:**

- Scacchiere (Zhang et al., Software in Matalab e OpenCV)
- Barra rigida con 2 marker (Borghese e Cerveri, 2000; utilizzata nei sistemi di Mocap; e.g. nello SMART-3D).
- Griglie 3D (non più utilizzato, Borghese et al., 1990)

**Metodi ibridi:**

- **Structure from Motion (SfM)**, **SLAM** (Simultaneous Localization and Mapping), vengono ricostruite le coordinate 3D dei punti, stimati i parametri interni e determinato il movimento. Molto utilizzata in robotica.

**Algoritmi:**

- DLT (Direct Linear Transform -> da 9 parametri, si passa a 12 in un sistema lineare).
- Bundle adjustment. Stima iterativa dei parametri.

A.A. 2021-2022
35/46



## 2D Camera Calibration (determinazione dei parametri interni)



On the bench – surveying a regular grid of fiducial points (→ camere metriche).

Off the bench (on the field) – distortion parameters are estimated with the geometrical parameters of the set-up (external parameters).



A.A. 2021-2022
36/46



## Calibrazione con punti in posizione nota



- Pattern (3D) di punti in posizione nota (test field).
- Misurazione dei punti.
- Determinazione dei parametri.

Per ciascun punto ho 2 equazioni di collinearità.

Ho  $9 + D$  parametri aggiuntivi.

Ho bisogno di  $(9 + D) / 2$  punti di controllo (ogni punto di controllo  $\rightarrow$  2 equazioni).

$$x - x_0 + f(x, y, x_0, y_0) = -f \cdot \frac{m_{11}(X - X_0) + m_{21}(Y - Y_0) + m_{31}(Z - Z_0)}{m_{13}(X - X_0) + m_{23}(Y - Y_0) + m_{33}(Z - Z_0)}$$

$$y - y_0 + g(x, y, x_0, y_0) = -f \cdot \frac{m_{12}(X - X_0) + m_{22}(Y - Y_0) + m_{32}(Z - Z_0)}{m_{13}(X - X_0) + m_{23}(Y - Y_0) + m_{33}(Z - Z_0)}$$

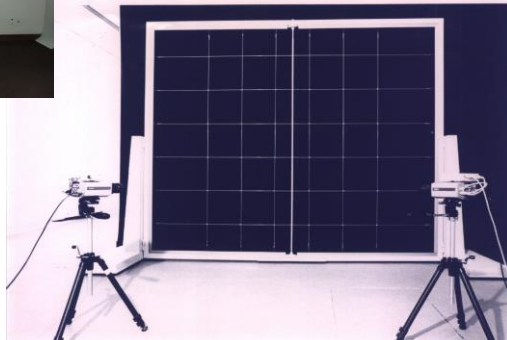
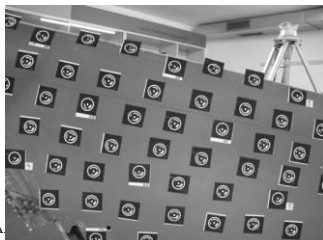
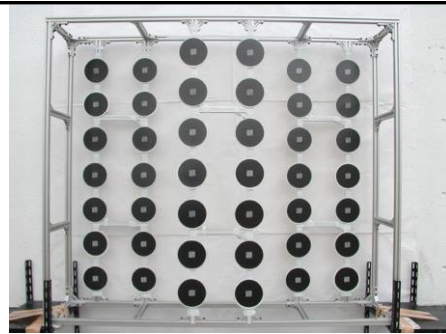
A.A. 2021-2022

37/46



### Test field (Known control points)

3D structures, which carry the control points are required. They should cover the working volume.



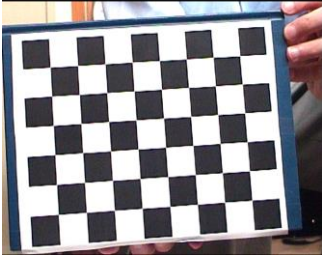
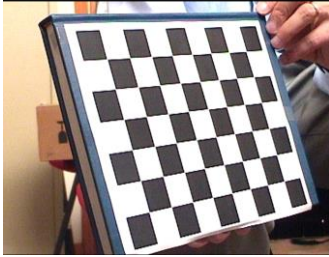
A.A.

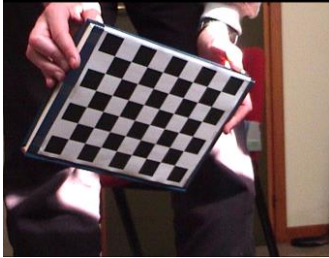
38/46



## Calibration through a chessboard



Estimated Parameters.

Distortions  
Internal  
External

<http://www.intel.com/research/mrl/research/opencv/>

Also suite in Matlab

A.A. 2021-2022

39/46

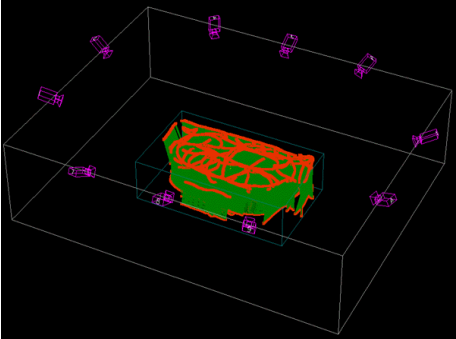


## Wand Calibration



2 steps:

- Establish external reference system (and initialize estimate)
- “Refinement”: estimate of the parameters.

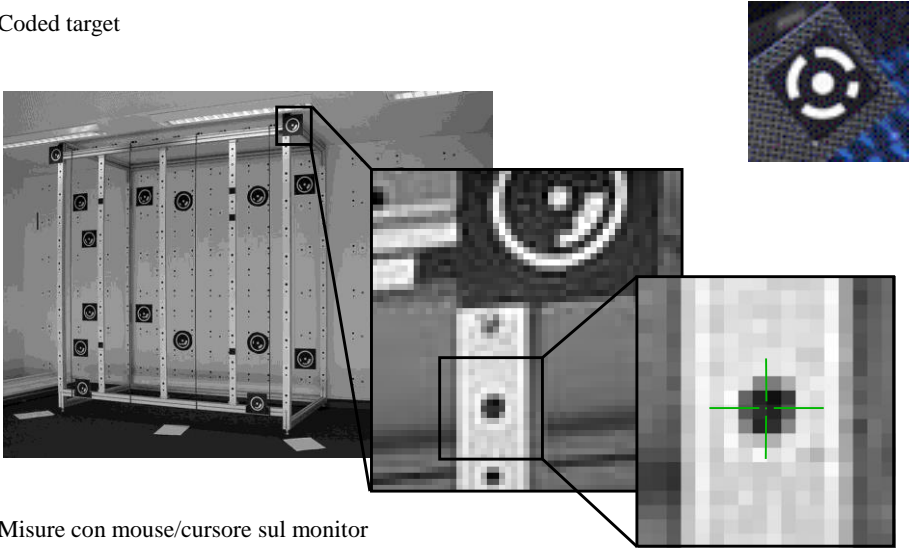
Wand itself can give a preferential reference system (and it can be used to recover the scale factor, video).

A.A. 2021-2022

40/46

 **Misurazione manuale dei punti di controllo** 

Coded target

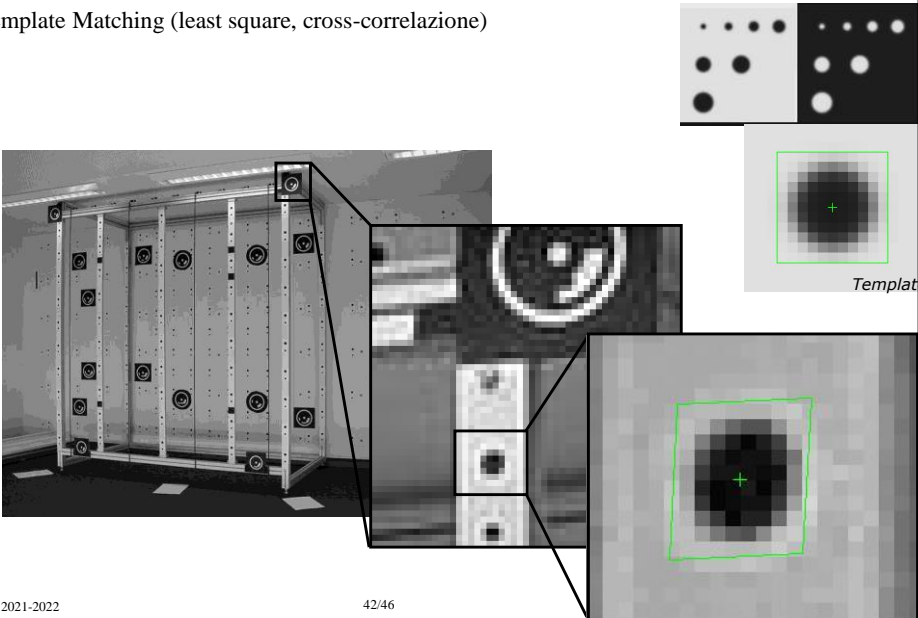


Misure con mouse/cursore sul monitor  
Precisione: 1/4 - 1/8 Pixel

A.A. 2021-2022 41/46

 **Misurazione automatica dei control points** 

Template Matching (least square, cross-correlazione)



A.A. 2021-2022 42/46



## Cross-correlazione

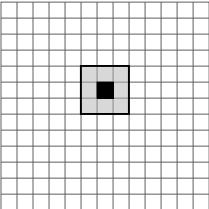


Calcolo il coefficiente di correlazione piu' alto all'interno di una finestra di ricerca

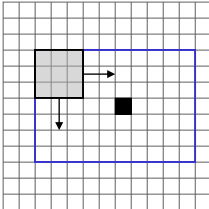
$$\gamma(x, y) = \frac{\sigma_{LR}}{\sigma_L \sigma_R}$$

$$\sigma_L = \sqrt{\frac{\sum_i \sum_j (g_L(x_i, y_j) - \bar{g}_L)^2}{mn-1}} \quad \sigma_R = \sqrt{\frac{\sum_i \sum_j (g_R(x_i, y_j) - \bar{g}_R)^2}{mn-1}} \quad \sigma_{LR} = \frac{\sum_i \sum_j ((g_L(x_i, y_j) - \bar{g}_L)(g_R(x_i, y_j) - \bar{g}_R))}{nm-1}$$

finestra di correlazione



finestra di ricerca



 Conjugate pixels

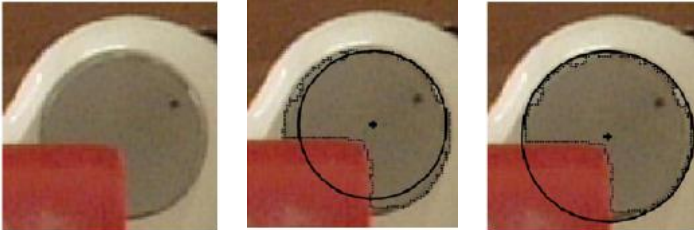
 Search window

A.A. 2021-2022
43/46



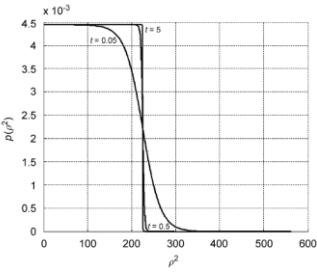
## Approccio statistico al circle fitting





*Frosio, Borghese – Pattern Recognition - 2008*

$$L(p_C, R_C) = \prod_{i=1}^N p(\rho_i^2, R_C).$$



A.A. 2021-2022
44/46



## Calibrazione, Proiezione e Ricostruzione



### 3 attori:

- A) I punti nello spazio 3D:  $\{\mathbf{P}(X, Y, Z)\}$
- B) I punti misurati sul piano immagine  $\{\mathbf{p}(x, y, f)\}$
- C) I parametri  $\{X_C, Y_C, Z_C, m_{ij}(\omega, \phi, k), f, x_o, y_o, \{ap_x\}, \{ap_y\}\}$

### 3 problemi:

- A) + B)  $\rightarrow$  C) Determinazione dei parametri del modello proiettivo (calibrazione).
- B) + C)  $\rightarrow$  A) Ricostruzione (ray intersection, VR).
- A) + C)  $\rightarrow$  B) Proiezione (augmented reality).



## Sommario



- La trasformazione proiettiva
- Calibrazione